

運輸省港湾技術研究所 正会員 沢口 正復
 シ ド ハ 高橋 印尺

1. 考え方

港湾構造物として重要な棚式天板岸壁は、矢板背面に打設された杭によって載荷重のついた棚を支え、矢板に働く土圧を減少させる構造である。天板の背面に大きな重量を支える杭があれば、この杭は船直荷重を支える以外に、矢板に加わる土圧のうちのいくらかを直接に受けけると看もられる。Tschebotarioff¹⁾はこれをスクリーニング効果と呼んでいる。棚式矢板岸壁以外にも、矢板壁の柱を杭によってとった斜柱式天板壁^{2), 3)}、組立式鋼天板壁⁴⁾等にスクリーニング効果は考えられる。設計上、算定の困難なこのスクリーニング効果を定量的に把握するためには、模型を用いて室内実験を行った。

2. 実験概要

図-1は用いた実験装置の見取り図である。下端ヒンジで回転移動する受圧壁の背面に掛けて、杭を想定したスクリーンが実験槽に取り付けられる。スクリーンは5種類あり、杭幅、杭間隔を変えたものについている。5種類のスクリーンは図-1に示す。ここでSは杭の中心間隔、Bは杭幅で単位はどちらもcmである。実験槽の内面には、側壁の摩擦の影響を除くために表面の滑りやすainless板を張ったが、摩擦をなくすことはできず検定にドリ摩擦角 21.5° を得た。実験材料として用いた砂は高萩海岸にて採取されたものであり、三軸圧縮試験により単位体積重量と内部摩擦角の対応をつけてある。実験は

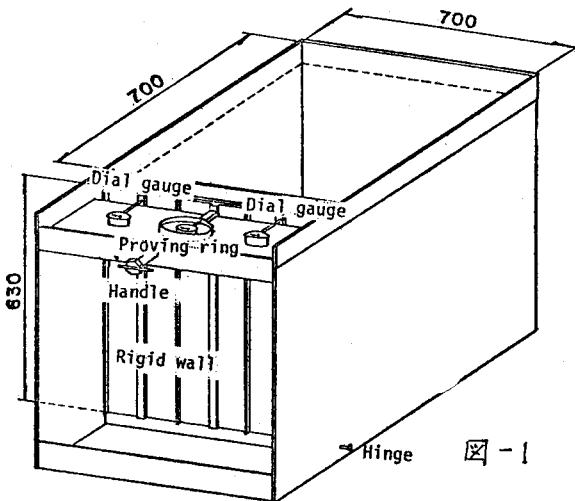


図-1

乾燥砂を行い、実験槽の容積から単位体積重量を求める。これより更に内部摩擦角を推定した。実験は、最初下端ヒンジで上端をフルーピングアーリングによりスクリーンに押しつけ、砂を入れたのちフルーピングアーリングをやめて主動化させ、最終的に安定するまで荷重と変位の関係を測定した。砂は密固の状態を通りに剥離し、密固にならない、繊く碎の3、固く碎の3のそれに対しスクリーンの5種類ごとにCase、その他スクリーンを入れない受圧壁のみで主動土圧を測定したものが1 Caseの計21 Caseの実験を行った。表-1に示す通りである。杭と壁体の間隔も実験条件の一つであると看えられれば、今回は併せて行った。杭を含む平面(スクリーン面)で、これを通過して伝わられる土圧は決まっており、この土圧が杭と壁体との間の土への影響を経て変化し、壁体に加わるものと看えられれば、今回は条件が基本的であり、また、測定もしやすいスクリーン面での土圧を追求した。又、砂の有効径は0.38mm、均等係数は1.822である。

3. 結果と考察

以上の実験でそれぞれのCaseに対して、上端のフルーピングアーリングが変化を示さなくなつた状態、すなはち完全に主動化した状態での荷重を、表-2に最終荷重として記してある。0.5mm程度変位すると殆ど完全に主動化する(壁高が60cmだから変位は壁高の $5/6000$)、最終荷重としてとったのは1~2mm変位までのものである。

	S(cm)	B(cm)	B/S
A	32	7	0.218
B	21	7	0.333
C	22.5	2.5	0.111
D	13.5	2.5	0.185
E	7.5	2.5	0.333

表-1

最終荷重に、求めておいた壁面の摩擦角 21.5° を用いて倒壁の摩擦の補正を施したのが、次の補正荷重である。補正は、クーロンの主働クサビの全だけが斜面摩擦の原因になると仮定し、倒壁と直角の方向には静止土圧($K_0 = 1 - \sin\phi$ とした)が加わるとして行った。以後の荷重に対する議論は、全て補正荷重に対して行う。

スクリーニングの程度を表す比 n を次のように定義する。¹⁾

$$n = \frac{E_a - E_b}{E_a}$$

E_a は主動土圧であり、 E_b は杭穴のある場合に倒壁に伝えられる土圧である。この比 n は、スクリーンの有無にかかわらず土圧分布が同じとした場合、我々の実験で上端に現われる荷重の比から求めることができ。各 E_b に対する E_a は、各CaseのYに対して E_a の方のYがその差±0.1程度以内にあって、同程度の密度になつていろものを選んでこれをめた。 $n = B/S$ に対してプロットしたのが図-2である。杭が密になる程スクリーニングの程度が大きくなる傾向がよく見て取れる。図中に曲線で示したもののは、参考文献4)にせられていろStreckの実験結果である。我々の結果に比較して更にスクリーニングの程度が大きい。しかしStreckの実験は杭を水平に置いて鉛直荷重の減少を見たものであつて、水平工圧の減少に関する我々の実験とは異質の要素がある。

またこのよう形に整理すると、我々の実験結果はStreckの曲線形状と違つて直線的に増大している。図中黒丸で示したのは参考文献4)による値であり、今回の実験結果とよく一致している。なお、破線で示した直線は、倒壁の面積に対してスクリーンのしきい面積を示すものであり、もし測定値がこの直線上にあれば、土圧は単に面積比に従つて分配されたことになる。従つて測定値が面積比を越えている分だけ、杭のすぐ間から壁に当つていろ土の土圧が更に減少したことになる。

4. あとがき

今回はデータの提示だけに終つたが、スクリーニング効果はアーチ作用が大きな原因であると思われる。特に、参考文献2), 3), 4)等ではたわみ性の矢板と実際の杭を対象にしており、矢板と杭の剛性の問題とされていろへに対して、今回の実験では矢板も杭も剛性もとしてあり、そのためたわみ性ではないと見える。従つてこつのような条件では、Terzaghiの取り上げている落し戸のよろ形のアーチ作用が、スクリーニング効果の原因と思われる。

この実験は、東海大学の米田博君(現熊谷組)の卒業研究として当研究室において行つたものである。

参考文献

- 1) Leonards "Foundation Engineering" McGraw Hill 1970
- 2) 石黒健 "鋼矢板工法" 小海書 1968
- 3) 大島寅・杉山道彦 "斜め壁を載る杭式鋼矢板壁の設計について" 土と基礎 Vol. 13, No. 3, 1965
- 4) 近藤伸治・三好弘高・渡口正俊 "組杭式鋼矢板工法について" 第27回土木学会年次学術講演会 III-108, 1972

表-2

締固め	杭	r (g/cm ³)	ϕ	最終荷重	補正荷重
不	無	1.398	34°05'	12.3	13.8
"	"	1.414	34°15'	11.4	12.8
緩	"	1.445	34°20'	10.9	12.4
"	"	1.477	34°25'	10.4	11.9
固	"	1.494	34°35'	10.7	12.2
"	"	1.503	34°35'	11.1	12.6
不	A	1.377	33°55'	6.1	7.5
"	B	1.407	34°00'	3.9	5.4
"	C	1.367	33°50'	8.1	9.5
"	D	1.397	34°00'	6.7	8.2
"	E	1.375	33°50'	2.1	3.5
緩	A	1.445	34°15'	5.7	7.2
"	B	1.475	34°25'	3.5	5.0
"	C	1.418	34°05'	7.3	8.8
"	D	1.454	34°20'	5.1	6.6
"	E	1.453	34°20'	2.2	3.7
固	A	1.489	34°30'	5.4	6.9
"	B	1.515	34°40'	3.4	4.9
"	C	1.467	34°20'	5.8	7.3
"	D	1.473	34°25'	4.6	6.1
"	E	1.490	34°30'	2.2	3.7

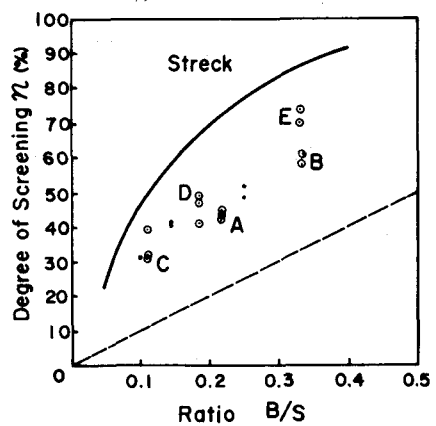


図-2